Л. Баумане, Р. Гавар, Я. Страдынь, Г. Дубур

ЭЛЕКТРОХИМИЧЕСКОЕ ВОССТАНОВЛЕНИЕ 4-(НИТРОФЕНИЛ)-1,2- И 1,4-ДИГИДРОПИРИДИНОВ И СПЕКТРЫ ЭПР ОБРАЗУЮЩИХСЯ СВОБОДНОРАДИКАЛЬНЫХ ЧАСТИЦ

В ходе электрохимического генерирования методом ЭПР идентифицированы промежуточные продукты реакций — свободные радикалы нитро- и нитрозофенильного типа, которые проявляются на циклических вольтамперных кривых. Для N-замещенных производных характерно восстановление дигидропиридинового цикла, а для 4-нитрофенишроизводных 1,4-дигидропиридина — отсутствие внутримолекулярного переноса электронов в процессе электровосстановления. В случае соответствующих производных 1,2-дигидропиридина внутримолекулярный перенос электронов и протонов в этих условиях возможен. Приведены совокупные схемы первичных и вторичных химических реакций, связанных с электрохимическим восстановлением изученных соединений. Установлено, что к числу исследованных в отношении механизма электрохимических превращений веществ относится антигипертензивный препарат нифедипин (коринфар, фенигидин).

Интерес к производным 1,4-дигидропиридина (ДГП) обусловлен, в основном, антиоксидантными свойствами соединений этого класса, поэтому особое внимание уделялось изучению процессов их электроокисления [1-5]. Среди ДГП значительной гипотензивной активностью обладают орто-нитрофенилироизводные 1,4-ДГП [6], например широко применяемый в практической медицине 2,6-диметил-3,5-диметоксикарбонил-4-(орто-нитрофенил)-1,4-ДГП (нифедипин, фенигидин, коринфар).

Нитрофенилпроизводные дигидропиридина интересны с точки зрения электрохимиков как соединения, содержащие электроактивные группы, способные к восстановлению и окислению [7], а также с точки зрения их применения в фармацевтической практике [8]. Важно выяснить, как протекают окислительно-восстановительные реакции и какие процессы определяют разложение этих соединений.

Наличие потенциальной внутримолекулярной редокс-системы в молекуле делает актуальным вопрос, индуцирует ли наложение электрохимического напряжения внутримолекулярный перенос электронов в молекулах нитрофенил-ДГП или же вследствие переноса образуются лишь вторичные редокс-системы. Вопрос тем более уместен, что введение *орто*-нитрофенильного заместителя в положение 4 гетероцикла обусловливает фотохимическое восстановление этих соединений [9].

В свое время были сопоставлены [10] механизмы электрохимического восстановления двух серий 4-нитрофенилпроизводных 1,4-ДГП, имеющих в положениях 3 и 5 ДГП цикла соответственно группы 3,5-СN и 3,5-СООС₂Н₅. Данные об электровосстановлении соответствующих аналогов из ряда 1,2-ДГП и более детальные результаты об электрохимическом восстановлении 3,5-дикарбэтоксипроизводных 4-нитрофенил-1,4-ДГП, а также препарата нифедипин по ряду причин были опубликованы лишь в препринте [11]. Учитывая интерес исследователей к механизму электрохимических превращений 4-(нитрофенил) производных ДГП [12], мы сочли необходимым опубликовать имеющиеся данные, доведя до завершения полученные ранее результаты.

При помощи полярографии, циклической вольтамперометрии на ртутной капле, платиновом и стеклографитовом электродах, а также спектроскопии

ЭПР в диметилформамиде проведено систематическое изучение механизма электрохимического восстановления 4-нитрофенилироизводных 1,4-ДГП I(1-4) и соответствующих аналогов 1,2-ДГП ряда I(5):

I(1) p-NO2; а R^1 = H, б R^1 = CH3, в R^1 = C₆H₅; I(2) m-NO2; а R^1 = H, б R^1 = CH3, в R^1 = C₆H₅, г R^1 = C₆H₄Br-p, д R^1 = CH₂C₆H₅; I(3) o-NO2; а R^1 = H, б R^1 = CH3; I(4) Нифедипин; I(5) а p-NO2, б p-NO2; в o-NO2

В качестве модельных соединений изучены 1,4-ДГП, не содержащие нитрогруппу в заместителе 4: I(6): $R^1 = CH_3$, $4 = CH_3$, I(7): $R^1 = C_6H_4CH_3$ -napa, $4 = C_6H_5$ и 1,2-ДГП I(8): $4 = C_6H_5$.

В табл. 1 приведены потенциалы и высоты полярографических воли электрохимического восстановления всех изученных соединений, в табл. 2 — значения констант сверхтонкой структуры спектров ЭПР всех детектированных свободнорадикальных продуктов, образующихся в процессе восстановления I(1-5).

Электрохимическое восстановление 4-нитрофенилпроизводных I(1-5) в ДМФА включает несколько электрохимических и химических стадий. *пара*-и *мета*-Нитрофенилзамещенные производные в случае как 1,4-ДГП, так и 1,2-ДГП восстанавливаются по единому механизму, тогда как поведение *орто*-нитрофенилпроизводных несколько иное.

Первая стадия восстановления для нитрофенилпроизводных 1,4-ДГП и производных 1,2-ДГП одноэлектронна, обратима и приводит к образованию относительно стабильных анион-радикалов II (схема 1).

Схема 1
$$[M]$$
 $\xrightarrow{+e^-}$ $[M]^ [M]$ I $(1-5)$ $II (1-5)$

[М] — исходная молекула 1,4- или 1,2-ДГП; [М] — соответствующий первичный анион-радикал. При этом нет существенного различия в потенциалах электровосстановления и обратимости этого процесса в зависимости от заместителя R1 и положения нитрогруппы в бензольном цикле (табл.1). Значения потенциалов первой волны восстановления близки значениям соответствующих нитротолуолов [13]. Исключением являются N-замещенные *орто*-нитрофенилироизводные I(36) и I(5в), для которых первая волна по высоте превышает 1е-уровень, а на циклической вольтамперограмме ей соответствуют два близколежащих пика со значениями катодных потенциалов -1,23 и -1,33 В для I (36) и -1,27 и -1,32 В для I(5), причем пик окисления, а значит, и обратимость процесса, наблюдается лишь для более отрицательной стадии восстановления. Ход восстановления одинаков как при восстановлении на ртутной капле, так и на стеклографитовом электроде. При повторной развертке потенциала на циклической вольтамперной кривой первый пик сохраняется, если скорость развертки потенциала невелика $(0.05~\mathrm{B}\cdot\mathrm{c}^{-1})$, при высокой же скорости $(0.5 \text{ B} \cdot \text{c}^{-1})$ остается лишь второй обратимый пик. Это говорит либо о том, что

Электрохимические характеристики ($-E_{1/2}$, i) производных ДГП в ДМФА на ртутном капающем электроде относительно насыщенного каломельного электрода на фоне 0,1 М (C_4H_9) $_4NPF_6$

	,							
Соединение	-E I _{1/2} ,	-E II _{I/2} ,	$-E \frac{III}{B}_{1/2},$	-E IV _{1/2} ,	i ^I , мкА	i ^{II} , mkA	i ^Ⅲ , MKA	įIV mkA
	ь	В	ь в	ь	MINA	IVILY	MINA	. MINA
I(1a)	1,18	-	2,02	2,50	0,80		0,59	1,59
I(16)	1,19	· —	2,15	2,36	0,81	_	2,38	2,36
I(1 _B)	1,12	-	2,04	2,24	0,83	: —	2,42	2,57
I(2a)	1,13	·	2,18	2,80	0,80	· —	0,80	2,17
I(26)	1,16	_	2,23	2,40	0,82		2,32	1,92
I(2 _B)	1,11	-	2,16	2,32	0,82	_	2,22	1,80
I(2r)	1,10	 	2,18	2,32	0,83	_	2,60	1,40
I(2д)	1,12		2,20	2,36	0,81	_	2,76	1,46
I(3a)	1,38	1,63	2,24	2,70	0,81	0,17	0,70	1,47
I(36)	1,29		2,18		0,95	_	1,19	
I(4)	1,39	1,64	2,20	2,65	0,81	0,08	0,63	1,72
I(5a)	1,15	_	1,75	2,30	0,80	_	0,87	2,50
I(5б)	1,18	_	2,20	2,70	0,87		1,57	2,50
I(5 _B)	1,27	_	1,98	2,48	0,87	_	1,57	0,78
I(6)	_	_	2,30		_		0,78	_
I(7)	_	_	2,14	2,60	_		0,79	1,27
I(8)	_		2,00	_	_	_	0,90	_
<i>p</i> -NO ₂ -Толу- ол[13]	1,15		2,1		4,0	_	10,0	
<i>m</i> -NO₂-Толу- ол[13]	1,18		_	_	4,0			_
<i>o-NO</i> 2-Толу- ол[13]	1,26	_	2,1	_	4,6		9,8	
<i>o-NO</i> ₂ - <i>mpem</i> - Бутилтолу- ол[13]	1,36		1,98		2,9	_	8,5	_

на первой стадии восстановления исходных соединений I(36) и I(5в) протекает быстрая химическая реакция, приводящая к образованию другого, более стабильного продукта, либо о наличии исходного соединения в двух формах, например стерических изомеров, восстанавливающихся при разных потенциалах.

Методом ЭПР удалось детектировать спектры первичных анион-радикалов II(1-5) для всех изученных сединений, кроме I(36) и I(58). Судя по спектрам ЭПР, все анион-радикалы имеют структуру замещенного нитробензола, следовательно, при первичном электровосстановлении неспаренный электрон делокализуется, в основном, по нитробензольному фрагменту молекулы. Во всех случаях наблюдается расщепление на атоме азота нитрогруппы и на всех протонах бензольного цикла (табл.2). Кроме того, для производных 1,4-ДГП проявляется дополнительное взаимодействие с протоном в положении 4 дигидропиридинового цикла, что свидетельствует о сохранении остова дигидропиридина в анион-радикалах II(1—4) 1,4-ДГП. В спектрах ЭПР анион-радикалов N-незамещенных орто-нитрофенилироизводных 1,4-ДГП II(3a, 4) выявлено дополнительное взаимодействие неспаренного электрона (а6н ~0,1 Гс) с протонами метильных групп в заместителях положений 3 и 5 гетероцикла [10]. При проверке других 4-орто-нитрофенил-1,4-ДГП, содержащих в положениях 3 и 5 гетероцикла заместители СООСН3, СОСН3 и СN, наблюдалось дополнительное взаимодействие, приводящее к расщеплению на 7 компонент с биномиальным соотношением интенсивностей в случае $R^3 = R^5 = COOCH_3$ или $COCH_3$ и на 5 компонент с биномиальным соотношением интенсивностей в случае $R^3 = R^5 = CN$. Величина этих констант около 0,1 Гс и слаборазличима, однако по общей ширине суммарного сигнала и путем симуляции спектра ЭПР можно установить, что для различных $R^3 = R^5$ величина дополнительной константы CTC уменьшается в ряду $COOC_2H_5 > COOCH_3 > COCH_3$. Такое дополнительное взаимодействие неспаренного электрона, делокализованного в основном в нитробензольном фрагменте молекулы, с заместителями в положениях 3 и 5 гетероцикла может быть обусловлено их пространственной близостью с нитрогруппой в фенильном цикле [14]. Интересно отметить, что в случае N-замещенных *орто*-нитрофенилироизводных I(36) и I(58) дополнительное взаимодействие не обнаружено.

Значения потенциалов первой стадии восстановления и констант СТС во всех случаях близки значениям для соответствующих нитротолуолов [15, 16], однако величина константы а $_{\rm H,4}$ значительно ниже, чем для протонов метильной группы, и существенно зависит от заместителя $_{\rm R}^{1}$ у атома азота в ДГП цикле, тогда как константы СТС нитробензольного фрагмента остаются практически неизменными. Поскольку в 1,4-ДГП нет прямого сопряжения между положениями 1 и 4 гетероцикла, то электронное влияние заместителя $_{\rm R}^{1}$ на протон в положении 4 передается, вероятно, через пространство.

Для анион-радикалов 4-нитрофенилпроизводных 1,2-ДГП II(5a,6) в отличие от соответствующих 1,4-ДГП аналогов наблюдается существенное уменьшение константы СТС, обусловленное атомом азота нитрогруппы и вызванное включением в сопряженную π -электронную систему этоксикарбонильных групп в положениях 3 и 5, а также метильной группы в положении 6 гетероциклической части молекулы. В результате плотность неспаренного электрона перераспределяется и на гетероцикл, хотя ни в одном случае дополнительные константы СТС не обнаружены. Это указывает лишь на концентрацию основной части плотности неспаренного электрона на этоксикарбонильных группах в гетероцикле.

Таким образом, на первой стадии электровосстановления влияние ДГП части молекулы проявляется как у заместителя в napa-, mema- или opmo-положении нитробензола. Положение гетероциклического остатка относительно нитрогруппы во всех случаях одинаково влияет на изменение сродства к электрону молекулы — оно возрастает в ряду opmo- > napa- > mema- (табл. 1 и 2). Из анализа значений потенциалов электрохимического восстановления и значений констант СТС opmo-, mema- и mapa-замещенных нитробензолов [17] вытекает, что такая последовательность характерна для электронодонорных заместителей и, соотвественно, в исследованных нами соединениях цикл 1,4-ДГП, как и 1,2-ДГП, обладает электронодонорными свойствами по отношению к нитробензольному остатку.

Дальнейшее восстановление анион-радикалов II существенно зависит от строения молекулы: на процесс влияют и заместитель у атома азота в гетероцикле, и местонахождение нитрогруппы в бензольном цикле, и строение самого ДГП цикла (т. е. является ли он 1,4- или 1,2-ДГП).

В случае N-незамещенных 4-(napa- и mema-нитрофенил)-1,4-ДГП вторая полярографическая волна по высоте близка к одноэлектронному уровню. Эта стадия необратима, однако на анодной ветви циклической вольтамперной кривой кроме пика окисления первичного анион-радикала $E^{\rm I}_a$ наблюдается новый пик $E^{\rm I}_a$ при более отрицательном потенциале, а на повторном цикле — соответствующий ему катодный пик $E^{\rm I}_k$ (рис. 1). Следовательно, в процессе присоединения второго электрона возникает продукт, способный образовать обратимую редокс-систему при более отрицательном потенциале, чем потенциал редокс-системы анион-радикал/исходная молекула.

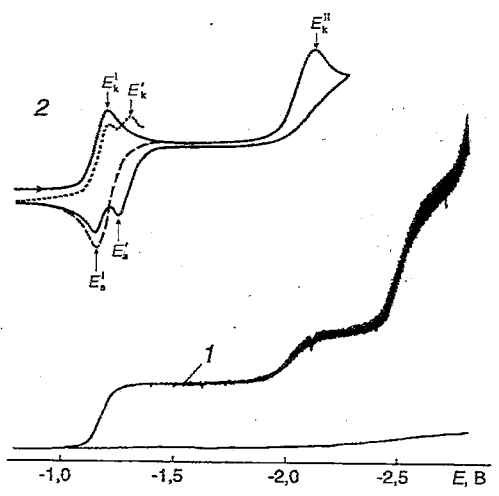


Рис. 1. Классическая полярограмма на ртутном капающем электроде (1) и циклические вольтамперограммы на висячей ртутной капле (2) при скорости развертки потенциала $0.2 \ \mathrm{B \cdot c}^{-1}$ для 4-napa-нитрофенил-1.4-ДГП I(1a) в ДМФА относительно насыщенного каломельного электрода

Для N-незамещенных *орто*-нитрофенилпроизводных 1,4-ДГП (3a, 4) между первой и второй основными полярографическими волнами отмечена дополнительная волна, которой на циклической вольтамперной кривой соответствует обратимая редокс-система E_a/E_k , и регистрируется образование нового продукта. Количество этого продукта возрастает, если развертку проводить до потенциала второй полярографической волны (рис. 2).

Мы попытались воспроизвести условия возникновения нового продукта в ячейке электрохимического генерирования, помещенной в резонаторе спектрометра ЭПР, и регистрировать спектры ЭПР, поскольку наличие обратимой редокс-системы указывает на возможность образования свободнорадикальных частиц. Для орто-нитрофенилироизводных (За, 4) новые свободнорадикальные продукты зарегистрированы уже при потенциале промежуточной волны. Для пара- и мета-нитрофенилироизводных спектры ЭПР были получены лишь при потенциале второй полярографической волны. Значения потенциалов, при которых зарегистрированы новые редокс-системы, приведены в табл. 3. По строению новые радикалы также оказались ион-радикалами замещенного нитробензола (табл. 2), в котором сохранен протон в положении 4 ДГП цикла.

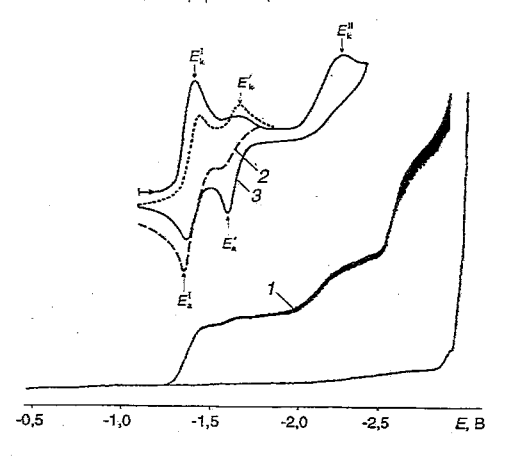


Рис. 2. Классическая полярограмма на ртутном капающем электроде (1) и циклические вольтамперограммы на висячей ртутной капле для нифедипина I(4) в ДМФА относительно насыщенного каломельного электрода при скорости развертки потенциала $0,2 \ B \cdot c^{-1}$ (2 — от −1,1 до −1,7 В; 3 — от −1,1 до −2,4 В)

Константы сверхтонкой структуры спектров ЭПР свободнорадикальных продуктов, образующихся при электрохимическом генерировании соединений I(1-5) в ДМФА

Соеди- нение		Потенциал ЭХГ	а, Гс					
	Продукт		a2'	a3'	a4 '	a5'	a6'	a _{H,4}
I(1a)	II(1a) IV(1a)	-1,2 -2,1	1,05 1,10	3,35 3,30	9,85 10,70	3,35 3,30	1,05 1,10	1,05 1,30
I(1б)	II(16) IX/X(16) (16)	-1,3 -3,0 -1,1	1,10 1,10 1,05	3,35 3,55 3,95	9,85 10,30 7,65	3,35 3,55 2,90	1,10 1,10 1,05	1,90 2,45 1,95
I(1в)	II(1B) IX/X(1B)	-1,1 -2,1	1,10 1,10	3,40 3,35	9,90 10,20	3,40 3,35	1,10 1,10	2,35 2,95
I(2a)	II(2a) IV(2a)	-1,2 -2,2	3,25 3,20	9,50 10,20	3,25 3,20	1,05 1,05	3,70 3,55	0,40 0,45
І(2б)	II (26) IX/X (26) VIII (26)	-1,2 -2,3 -0,9	3,30 3,30 3,55	9,85 10,20 7,15	3,30 3,30 2,70	1,05 1,05 1,00	3,95 3,50 3,75	0,65 0,20 0,50
І(2в)	II (2 _B) IX/X (2 _B) VIII (2 _B)	-1,2 -2,0* -0,9*	3,15	9,80	3,15	1,05	3,90	0,40
I(2r)	II (2r) IX/X (2r) VIII (2r)	-1,1 -2,1* -0,8*	3,20	9,80	3,20	1,05	3,80	0,35
І(2д)	П(2д) IX/X(2д)	-1,3 -2,0*	3,20	9,60	3,20	1,00	3,95	0,55
I(3a)	VIII (2д) II (3а) IV (3а)	-0,9 -1,4 -1,6	3,75 9,70 10,40	7,25 3,10 3,10	3,75 1,00 1,00	0,95 4,00 8,30	2,75 1,00 1,15	$\begin{vmatrix} 0.95 \\ 0.90 > 0.1 \text{ (6H)} \\ 0.90 \\ 0.15 \text{ (6H)} *^2 \end{vmatrix}$
I(36)	IX/X(36)	-1,4	9,95	3,35	1,20	4,00	1,20	1,50
I(4)	II(4) IV(4)	-1,4 -1,7	10,15 10,85	3,10 2,60	1,00 1,00	4,00 4,00	1,00 1,00	1,00 > 0,1 (6H) 0,65 > 0,1 (6H)
I(5a)	II(5a) XI(5a) XV/XVII(5a)	-1,2 -1,8 -0,9*	1,00 1,05	3,20 3,35	8,85 10,15	3,20 3,35	1,00 1,05	_ _
I(56)	II(56) XI(56) XV/XVII(56)	-1,2 -1,8 -0,9	3,40 3,20 3,75	9,80 11,10 7,55	3,40 3,20 3,75	1,10 1,10 1,00	4,00 3,80 3,05	
I(5 _B)	XI(5 _B)	-1,3	8,90	3,35	0,85	4,05	0,85	_

^{*} Значения констант СТС не определены из-за сильного перекрывания сигналов в спектрах

ЭПР и невозможности выделить отдельные компоненты. $^{+2}$ Значения констант СТС определены путем симуляции спектров ЭПР (см. [33]).

Предположение об образовании дианион-радикала исходного соединения, как это показано в случае 4-нитрофенил-3,5-дицианопроизводных 1,4-ДГП [18], экспериментальными данными не подтверждено. В отличие от 3,5-дицианозамещенных аналогов, которые как в щелочной среде, так и в процессе электровосстановления в апротонном ДМФА образуют относительно стабильную форму аниона, способную восстанавливаться до дианион-радикала [2, 18], в случае 3,5-дикарбэтоксизамещенных соединений анионная

форма в щелочной среде, по данным электронной спектроскопии, весьма нестабильна и быстро преобразуется. Известно, что кислотность N-незамещенных 3,5-дикарбэтоксипроизводных 1,4-ДГП на 3,4 ед. рК ниже, чем соответствующих 3,5-дицианопроизводных [19]. Добавка к сухому ДМФА до 2% воды, молекулы которой должны были бы протонировать анионы, не влияет на выход и стабильность вторичного радикала, зарегистрированного методом ЭПР.

В качестве возможного объяснения образования вторичных радикалов выдвигается следующая схема: на второй одноэлектронной стадии восстанавливается протон у атома азота гетероцикла [20], последний быстро протонируется, но уже в другом положении (например, в положении 3 ДГП-цикла). В результате происходит изомеризация посредством аниона (III) с образованием нитрофенильного анион-радикала (IV) нового строения (схема 2):

EtOOC H COOEt H COOEt H
$$+ e^-$$
 EtOOC H $+ e^-$ ETOOC H $+ e^$

Такой анион-радикал 3,4-ДГП IV должен обладать более сильными электронодонорными свойствами относительно положения 4 гетероцикла, по сравнению с 1,4-ДГП, за счет перегруппировки двойных связей в ДГП цикле, что проявляется как смещение потенциала восстановления к более отрицательным значениям и увеличение значения константы СТС ан,4 в спектрах ЭПР. Приведенные в таблице 2 результаты согласуются с выводом для анион-радикалов *пара*- и *мета*-нитрофенилпроизводных IV(1a, 2a), однако не противоречат и в случае *орто*-нитрофенилпроизводных IV(3a,4), если принять существование в этих анион-радикалах дополнительного взаимодействия неспаренного электрона с метильными группами заместителей в положениях 3 и 5 гетероцикла (табл. 2).

Третья волна восстановления N-незамещенных соединений I(1a, 2a, 3a, 4) обусловлена восстановлением либо нитрогруппы до гидроксиламиновой, либо двойной связи в дигидропиридиновом цикле (см. далее схемы 3 и 5). При развертке потенциала до третьей волны на циклических вольтамперных кривых появление новых пиков окисления или новых редокс-систем не обнаруживается.

Для N-замещенных napa- и мema-нитрофенилироизводных 1,4-ДГП I(16,в, 26—д) при дальнейшем восстановлении анион-радикалов II наблюдаются две близкие по потенциалам волны в интервале от -2,1 до -2,4 В. Высота второй

волны восстановления близка к 3е-уровню. В этом же интервале потенциалов в апротонной среде ДМФА восстанавливаются анион-радикалы нитротолуолов (табл.1, соединения I(12—14) [13]). По аналогии можно предположить, что вторая волна соответствует восстановлению анион-радикалов II до гидроксиламинофенилироизводного 1,4-ДГП или до дианиона нитрозофенилироизводного 1,4-ДГП, если в среде электролиза количество доноров протонов недостаточно (схема 3):

Схема 3

Однако в этом же интервале потенциалов восстанавливаются и 1,4-ДГП, не содержащие нитрофенильный заместитель в положении 4 гетероцикла (см. табл.1, соединения I(9), I(10) и [21]) и, следовательно, на основе полярографических данных невозможно установить, который из названных процессов восстановления — анион-радикала или 1,4-ДГП цикла — протекает раньше.

На циклических вольтамперных кривых, снятых для N-замещенных napa- и mema-нитрофенилпроизводных 1,4-ДГП, при восстановлении до второй волны кроме пика окисления анион-радикала наблюдается новый анодный пик при более положительных потенциалах ($E_a = \sim -0.7$ В) [10]. При повторной развертке потенциала ему соответствует пик восстановления этого продукта ($E_K = \sim -0.8$ В). Значения потенциалов новой редокс-системы приведены в табл. 3 (продукт VIII, схема 4).

В процессе электрохимического генерирования при потенциале второй полярографической волны для этих соединений возникают дополнительные сигналы ЭПР, интенсивность которых значительно возрастает, если потенциал резко снизить (до 0 В), а затем увеличить до (-0,8 В). Анализ СТС зарегистрированных спектров ЭПР показал, что это анион-радикалы замещенного нитрозобензола [21]. Наличие в них константы СТС ан,4 свидетельствует о сохранении 1,4-ДГП строения гетероцикла и исключает возможность внутримолекулярного переноса электронов и протонов от ДГП части молекулы на нитрофенильный фрагмент. Следовательно, на второй стадии анион-радикал II восстанавливается далее по нитрогруппе (схема 3). Анион-радикалы 4-нитрозофенилпроизводных 1,4-ДГП VIII возникают при обратном окислении VI через образование нитрозофенилпроизводного VII, которое может восстанавливаться до анион-радикала VIII, или при одноэлектронном окислении дианиона VI' (схема 4):

EtOOC H COOEt

Me N Me R NO

R1

VI

VII

$$+ e^{-}$$

NO

EtOOC H

COOEt

Me N Me

R1

VII

VIII

VIII

VIII

VIII

Так как последняя реакция протекает при значительно более отрицательных потенциалах, чем окисление VI [13], то этим можно объяснить возникновение анион-радикалов нитрозофенилироизводного при потенциале второй полярографической волны.

Образование нитрозобензола при электрохимическом окислении N-фенилгидроксиламина рассмотрено давно [23], однако анион-радикалы нитрозофенилпроизводных до сих пор остаются весьма экзотическими частицами, так как из-за малой стабильности их трудно детектировать методом ЭПР. Лишь в работе [24] приведены сведения об образовании относительно стабильных анион-радикалов 2-нитрозо-4-хлор-6-нитроанизола при потенциале второй полярографической волны электрохимического восстановления 2,6-динитро-4-хлоранизола. Для N-замещенного *орто*-нитрофенилпроизводного I (36) на второй стадии восстановления не обнаружено ни ион-радикалов нитрозофенилпроизводного, ни образования дополнительной редокс-системы на циклических вольтамперных кривых.

Третья полярографическая волна для N-замещенных производных 1,4-ДГП (I(16,B) и II(26—д)) соответствует переносу от двух до четырех электронов. На циклических вольтамперных кривых при развертке потенциала до третьей стадии восстановления на обратной ветви окисления кроме редокс-систем первичный анион-радикал/исходная молекула и анион-радикал нитрозофенилпроизводного/нейтральная молекула наблюдается еще одна редокс-система — на этот раз в интервале потенциалов между первой и второй стадиями восстановления исходного соединения, т. е. при более отрицательном потенциале, чем потенциал первичной редокс-системы (табл. 3). В процессе электрохимического генерирования этих соединений при потенциале третьей волны зарегистрированы спектры ЭПР соответствующих свободных радикалов IX или X (схема 5), образование которых происходит значительно труднее, чем N-незамещенных производных 1,4-ДГП. Практически не удается выделить вторичный радикал в чистом виде, однако путем симуляции и теоретического складывания (вычитания) двух спектров ЭПР определены константы СТС для некоторых вторичных радикалов (табл. 2). По характеру СТС они также являются анион-радикалами замещенного нитробензола с сохранением протона в положении 4 гетероцикла, но с несколько увеличенными значениями констант СТС от атома азота нитрогруппы и протона в положении 4 ДГП цикла.

Мы попытались объяснить образование таких свободных радикалов тем, что потенциалы второй и третьей волн дальнейшего восстановления первичного анион-радикала II до гидроксиламинофенилпроизводного по нитрогруппе или по двойным связям гетероцикла весьма близки и в зависимости от ориентации молекулы некоторая часть II может восстанавливаться по двойным связям, не затрагивая нитрогруппу (схема 5):

Схема 5

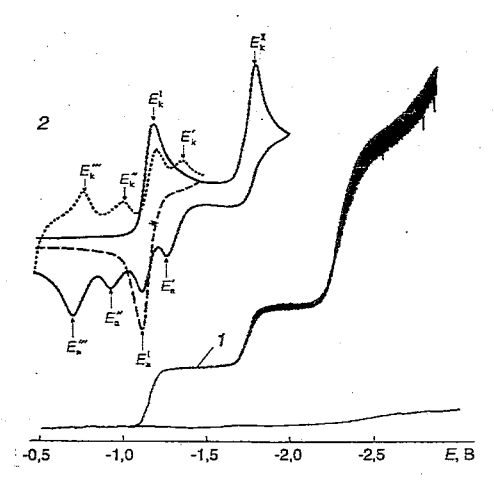
$$\Pi \xrightarrow{+2 \text{ e}^-; +2 \text{ H}^+} \text{EtOOC} \xrightarrow{\text{H}} \text{COOEt} \xrightarrow{\text{H}} \text{EtOOC} \xrightarrow{\text{H}} \text{COOEt} \xrightarrow{\text{H}} \text{Me} \xrightarrow{\text{H}} \text{H} \xrightarrow{\text{H}} \text{H} \xrightarrow{\text{H}} \text{H}$$

Гетероцикл с восстановленными двойными связями обладает более выраженными донорными свойствами по сравнению с 1,4-ДГП, что приводит к перераспределению плотности неспаренного электрона и увеличению значений констант СТС, обусловленных атомом азота нитрогрушпы и протоном в положении 4 1,4-ДГП цикла. Альтернативная структура вторичного радикала — замещенный фенилнитроксид или протонированный анион-радикал нитрозофенилироизводного -С6H4—NHO — исключается однозначно, так как значение константы СТС ан,4 от протона, не принадлежащего фенильному циклу, значительно меньше значения константы СТС от атома азота нитрогруппы (см., например, соединения I, табл. 2), что не согласуется с многочисленными данными о нитроксильных радикалах [25], для которых протонная константа в группе -NHO по численному значению превышает азотную константу.

Несовпадение значений констант СТС вторичных радикалов для N-замещенных и N-незамещенных нитрофенил-1,4-ДГП свидетельствует о различных преобразованиях дигидропиридиновой части молекулы при их электрохимическом восстановлении.

Для N-замещенного *орто*-нитрофенилпроизводного 1,4-ДГП I(3б) дальнейшее восстановление обусловлено одной необратимой стадией. В отличие от других N-замещенных нитрофенил-1,4-ДГП вторая волна восстановления I(3б) при -2,18 В лишь незначительно превышает одноэлектронный уровень. На циклических вольтамперных кривых не обнаружено возникновение каких-либо новых продуктов, способных к обратному восстановлению. Однако следует вспомнить, что первая волна восстановления I(36) состоит из двух близких волн и, возможно, в данном случае образование нового продукта IX является чисто химическим процессом. Зарегистрированный спектр ЭПР для этого продукта, как и для остальных N-замещенных пара- и мета-нитрофенилпроизводных 1,4-ДГП, свидетельствует о том, что образовавшийся анион-радикал является орто-замещенным нитробензолом с сохранением протона в положении 4 гетероцикла (табл. 2).

 $ar{B}$ случае 4-нитрофенил-1,2-ДГП I(5а—в) дальнейшее электрохимическое восстановление образовавшихся на первой стадии анион-радикалов II (схема 1) протекает в две необратимые стадии с затратой от одного до трех электронов (табл. 1). Для napa- и mema-нитрофенилироизводных I(5a) и I(5б) на циклических вольтамперных кривых, зарегистрированных до второй волны восстановления, отмечено образование трех новых обратимых редокс-систем (рис. 3). Одна (E'_a/E'_k) при более отрицательном потенциале,



Puc.~3. Классическая полярограмма на ртутном капающем электроде (I) и циклические вольтамперограммы на висячей ртутной капле (2) при скорости развертки потенциала $0,2~\mathrm{B}\cdot\mathrm{c}^{-1}$ для 4-napa-нитрофенил-1,2-ДГП I(1a) в ДМФА относительно насыщенного каломельного электрода

чем потенциал первичного восстановления, по данным ЭПР, соответствует образованию продукта, который, как и в случае N-замещенных 1,4-ДГП, является замещенным нитробензолом с более донорным заместителем вместо 1,2-ДГП цикла. Другие две обратимые редокс-системы E''_a/E''_k и E'''_a/E'''_k возникают при более положительных потенциалах (-0,7 В и -0,9 В), чем потенциал редокс-системы первичного восстановления исходных соединений. Методом ЭПР в процессе электрохимического генерирования на фоне первичных и вторичных радикалов зарегистрированы сигналы, интенсивность которых возрастает при понижении потенциала генерирования до \sim -0,8 В. По расшифровке и значениям констант СТС зарегистрированный спектр соответствует анион-радикалам napa- или mema-замещенного нитрозофенилпроизводного 1,2-ДГП.

Мы полагаем, что редокс-система при более отрицательном потенциале и соответствующий свободнорадикальный продукт может возникать в результате восстановления двойной связи в гетеропикле (схема 6):

Схема 6

NO2

EtOOC — NO2

H

Me

N Me

N

Анион-радикалы замещенного нитрозофенилироизводного могут образоваться при обратном окислении гидроксиламинофенилироизводного или дианиона нитрозофенилироизводного как для производных 1,4-ДГП (схема 4). Однако в этом случае невозможно однозначно приписать этим радикалам 1,2-ДГП строение гетероциклического заместителя, поскольку отсутсвие протона в положении 4 гетероцикла и соответсвенно константы СТС не исключает возможности внутримолекулярного переноса электронов и протонов. Можно предположить, что при недостаточном количестве доноров протонов в реакционной смеси необходимые для восстановления

нитрогруппы протоны и электроны могут частично передаваться от 1,2-ДГП цикла с образованием пиридиниевой соли гидроксиламинофенил- или нитрозофенилпроизводного XVI. Приэлектродная реакция восстановления нитрогруппы будет суммарным процессом химических и электрохимических преобразований, представленных на схеме 7:

Схема 7

Вероятность образования иона пиридиния XVI подтверждает тот факт, что при электрохимическом восстановлении пиридиниевых солей, содержащих в положении 4 нитрофенильный заместитель, первая волна восстановления пиридиниевой части молекулы лежит при более положительных потенциалах, чем потенциал восстановления соответствующего 1,2-ДГП. Например, для napa-нитрофенил-1,2,6-триметил-3,5-диэтоксикарбонилпиридиниевой соли $E_{1/2}=-0,73$ В, тогда как для соответствующего 1,2-ДГП $E_{1/2}=-1,15$ В, Кроме того, на вероятность внутримолекулярного переноса электронов и протонов указывает возникновение анион-радикалов нитрозофенилпроизводного при потенциале второй полярографической волны, особенно в случае napa-нитрофенилзамещенного 1,2-ДГП I(5a), для которого эта волна одноэлектронна (табл. 1).

Для *орто*-нитрофенилзамещенного 1,2-ДГП I(5в) слабо выраженные пики окисления и восстановления нового продукта зафиксированы лишь при развертке потенциала до третьей волны восстановления, однако никакие дополнительные свободнорадикальные продукты методом ЭПР не обнаружены.

Таблица 3

Продукт Соедине īV VIII, XV IX, X XI XVII -*E*_K -Ea $-E_{K}$ -Ea $-E_{\kappa}$ $-E_a$ $-E_{\kappa}$ -Ea $-E_{\mathbf{K}}$ -Ea I(1a) 1.31 1.25 I(2a) 1.26 1,20 1,56 I(3a) 1,64 1,59 I(4) 1,63 0.86 I(16) 0,80 1,32 0,88 I(1_B) 0,80 1,28 0,93 I(26) 0,84 1,23 1,18 I(2_B) 0,95 0.84 1,34 1,28 I(2r) 0,94 0,86 1,30 1,24 I(2_H) 0,95 0.86 1,33 1,26 I(36) 1,33 1,23 I(5a) 0,97 0,90 1,35 1,27 0,76 0.70 I(56) 0,96 0,88 1,35 1,29 0,74 0,68 I(5_B) 1,32 1,23

Особенности электрохимического восстановления *орто*-нитрофенил-производных 1,4-ДГП и 1,2-ДГП проявляются как в значениях потенциалов первой стадии восстановления, так и в процессе дальнейшего восстановления. Сдвиг потенциала первой волны восстановления этих соединений в более отрицательную область может быть вызван поворотом нитрогруппы по связи С—N из плоскости бензольного кольца вследствие отталкивания групп NO₂ в фенильном и COOC₂H₅ в ДГП фрагментах молекулы. Как отмечалось выше, ни в одном случае нам не удалось зарегистрировать спектры ЭПР *орто*-нитрозофенилироизводных, характерные для *пара*- и *мета*-нитрофенилзамещенных ДГП. Кроме того, следует отметить весьма малую стабильность зарегистрированных первичных анион-радикалов в N-незамещенных производных 1,4-ДГП. Вероятно, продукты первичного восстановления претерпевают быстрые химические преобразования с образованием электрохимически неактивных соединений.

Из приведенных результатов следует, что нитрофенилпроизводные 1,4-ДГП электрохимически восстанавливаются с сохранением 1,4-ДГП строения гетероцикла и в этих соединениях не происходит внутримолекулярный перенос электронов и протонов от ДГП части на нитрофенильный фрагмент. Наличие анион-радикалов нитрозофенилпроизводного связано с окислением гидроксиламинной группы и их относительная стабильность является весьма интересной особенностью при восстановлении этих соединений. Наличие достаточно стабильных свободнорадикальных частиц, образующихся в электрохимическом процессе, должно привлечь внимание как при рассмотрении токсичности соединений этого класса [26], так и при трактовке ингибирования автоокисления нитрофенилпроизводными ДГП, которое осуществляется посредством образования нитроксильных радикалов [27].

ЭКСПЕРИМЕНТАЛЬНАЯ ЧАСТЬ

1,4–ДГП синтезировали по методикам [28, 29], 1,2–ДГП — по методике [30]. Электрохимическое восстановление проводили в безводном ДМФ [31] на фоне гексафторфосфата тетрабутиламмония (0,1 моль • n^{-1}). Классические полярограммы и циклические вольтамперные кривые регистрировали на полярографе PAR-170 с использованием трехэлектродной ячейки. Катод — ртутный капающий электрод с принудительным отрывом капли (t=0,5 с, m=0,90 мг • c^{-1}), анод — платиновая проволока, электрод сравнения — водный насыщенный каломельный электрод, снабженный переходным мостиком для работы в неводных растворителях. Циклические вольтамперные кривые регистрировали на ртутной висячей капле или стеклографитовом электроде, скорость развертки циклов 0,2 В • c^{-1} .

Спектры ЭПР свободнорадикальных частиц, полученных методом электрохимического генерирования (ЭХГ) [32] по трехэлектродной схеме на поверхности плоского платинового электрода в микроячейке резонатора, регистрировали на радиоспектрометре ER-9 (Carl Zeiss, Jena). Симуляцию спектров ЭПР осуществляли на мини-ЭВМ НР 2116С, соединенной с радиоспектрометром «оп line» [33].

Часть экспериментальной работы проведена ранее в Институте электрохимии и физической химии им. Я. Гейровского Чехословацкой АН при участии И. Фольке, В. Фольковой и И. Клима, за что приносим им сердечную благодарность. Выражаем также благодарность химикам-синтетикам, предоставившим образцы веществ. Завершающие исследования проведены в рамках финансирования Латвийским Советом по науке проекта № 94-467.

СПИСОК ЛИТЕРАТУРЫ

- 1. Страдынь Я. П., Бейлис Ю. И., Улдрикис Я. Р., Дубур Г. Я, Саусинь А. Э., Чекавичус Б. С. // ХГС. 1975. № 11. С. 1525, 1530.
- Skala V., Volke J., Ohanka V., Kuthan J. // Coll. Czech. Chem. Commun. 1977. Vol. 42. P. 292.
- Ludvik J., Klima J., Volke J., Kurfürst A., Kuthan J. // J. Electroanal. Chem. 1982. Vol. 138. — P. 131.
- 4. Огле Я.В., Страдынь Я. П., Дубур Г. Я., Лусис В. К., Кадыш В. П. // XГС. 1980. № 9. С. 1263.
- 5. Огле Я. В., Баумане Л. Х., Гавар Р. А., Кадыш В. П., Страдынь Я. П., Лусис В. К., Муцениеце Д. Х., Дубур Г. Я. // ХГС. 1984. № 5. С. 651.
- 6. Кируле И. Э., Рубене Д. Я., Бисениекс Э. А., Тирзит Г. Д., Дубур Г. Я. // ХГС. 1982. № 3. С. 416.
- 7. Огле Я. В., Баумане Л. Х., Страдынь Я. П., Дубур Г. Я., Кадыш В. П., Гавар Р. А., Лусис В. К. // ХГС. 1985. № 8. С. 1099.
- 8. Prous J. R. The Years News. Therapeutic Targets. Barselona: Prous Science Publishers, 1994. 549 p.
- 9. Derson J. A., Brown E. // J. Amer. Chem. Soc. 1955. Vol. 77. P. 447.
- Baumane L., Stradins J., Gavars R., Duburs G. // Electrochim. Acta. 1992. Vol. 37. N 14. — P. 2599.
- 11. Страдынь Я. П., Фольке И., Баумане Л. Х., Фолькова В., Клима И., Дубур Г. Я., Гавар Р. А. Электрохимическое восстановление 4-(нитроарил) дигидропиридинов. Циклическая вольтамперометрия и спектры ЭПР электрохимически генерированных анион-радикалов [Препринт]. Рига: ИОС АН ЛССР, 1985. 27 с.
- Alvarez-Lueje A., Nunez-Vergara L. J., Squella J. A. // Electroanalysis. 1994. Vol 6. P. 259.
- Geske D. H., Ragle J. L., Bambenek M. A., Balch A. L. // J. Amer. Chem. Soc. 1964. Vol. 86. — P. 987.
- 14. Triggle A. M., Shefter E., Triggle D. J. // J. Med. Chem. 1980. Vol. 23. P. 1442.
- 15. Fujinaga T., Deguchi Y., Umemoto K. // Bull. Chem. Soc. Japan. 1964. Vol. 37. P. 822.
- Lawless L. G., Bartak D. E., Hawley M. D. // J. Amer. Chem. Soc. 1969. Vol. 91. P. 7121.
- 17. Hollek L., Becher D. // J. Electroanal. Chem. 1962. Vol. 4. P. 321.
- 18. Баумане Л. Х., Страдынь Я. П., Гавар Р. А., Гаухман А. П., Дубур Г. Я. // ХГС. 1988. № 11. С. 1494.

- 19. Виганте Б. А., Озолс Я. Я., Терехова М. И., Петров Э. С., Дубур Г. Я., Лиепиньш Э. Э., Розентале Г. И. // ХГС. 1986. № 4. С. 491.
- 20. Вакульска Т. И., Ларина Л. И., Нефедова О. Б., Лопырев В. А. // XГС. 1982. № 4. С. 523
- 21. Кадыш В. П., Дубур Г. Я., Страдынь Я. П., Улдрикис Я. Р. // XГС. 1978. № 5. С. 641.
- 22. Ayscough P. B., Sargent F. P., Wilson R. // J. Chem. Soc. B. 1966. P. 903.
- 23. Kemula W., Kublik Z. // Roczn. Chem. 1958. Vol. 32. P. 941.
- 24. Стариченко В. Ф., Рябинин В. А., Шейн С. М. //Изв. АН СССР. Сер. хим. 1976. С. 520.
- 25. Landolt-Börnstein // Zahlenwerten und Funktionen aus Naturwissenschaften und Technik. Neue Serie. Berlin: Springer Verlag, 1980. Gr.II, Bd 9, T. d1. S. 538.
- Biaglow J. E., Nygaard O. F., Greenstock C. L. // Biochem. Pharmacol. 1976. Vol. 25. P. 393.
- 27. Тирзит Г. Д., Кируле И. Э., Баумане Л. Х., Гавар Р. А., Страдынь Я. П., Дубур Г. Я. // ХГС. — 1984. — № 8. — С. 1120.
- 28. Eisner U., Kuthan J. // Chem. Rev. 1972. Vol. 72. P. 1.
- 29. Саусинь А. Э., Лусис В. К., Дубур Г. Я., Бейлис Ю. И. // ХГС. 1978. № 11. С. 1508.
- 30. Муцениеце Д. Х., Лусис В. К., Дубур Г. Я. // ХГС. 1982. № 9. С. 1225.
- 31. *Каргин Ю. М., Кондранина В. В., Семахина Н. И. //* Изв. АН СССР. Сер. хим. 1971. С. 178.
- 32. Страдынь Я. П., Гавар Р. А., Баумане Л. X. // Изв. АН ЛССР. 1986.—№ 2. С. 73.
- 33. Байдер Л. М., Гавар Р. А., Либерман Б. Я., Розенблит А. Б., Страдынь Я. П., Томсон П. Э., Флейшер М. Б. // Теор. и эксперим. химия. — 1979. — Т. 15. — С. 588.

Латвийский институт органического синтеза, Рига LV-1006

Поступило в редакцию 14.10.96